

信州大学工学部 学生貢引 地 明 善  
正 貢 草 間 孝 志

### 1. まえがき

構造物の設計に際し、応力解析は建設当初の状態のみを参考して設計計画がなされる場合が多い。しかしながら、たとえば基礎の不同沈下や建設後の年数の経過によって変化する場合には、それとともに構造物は変形し残留応力が発生するなど、年数の経過とともに応力に変化が生じることが考えられる。

一方、极限解析によると、初期変形、残留応力の存在は、構造物の崩壊時における変形には影響を与えるが、崩壊荷重は変わらないことが知られている。よって、経年による基礎の不同沈下は構造物の崩壊荷重には影響を与えることはない。また、繰り返し荷重をうけた構造物の場合にも、不同沈下による残留応力ならびに塑性変形による残留応力は、それそれ与えられた一定死荷重につり合つから、残留応力の存在は変形硬化荷重には影響をおよぼさない」と考えられる。これに反し座屈問題の場合には、部材の初期たわみと残留応力は最大荷重にかなり影響をきたすことが知られてる。したがって、構造物が曲げモーメントのみならず、軸力をも同時にうけたときには、経年による基礎の不同沈下の変化が構造物の最大荷重に影響を与えることが予想される。このような場合には、建設当初における構造物の安全性の検討のみならず、年数を経過した後の構造物の安全性についても検討する必要がある。本報告は、このような見地から、一試みとして、基礎の相対沈下を粘弹性問題とし、上部構造は軸力を考慮した弾塑性問題として取り扱かい、解析モデルとしては、粘弹性地盤上の内型ラーメンを対象に、終局状態にいたるまでの変形性状と経年との関係について数値解析を行なつたものである。

### 2. 考え方ならびに方法

まず、つきの仮定を設けた。  
 1) 地盤は線形粘弹性バネ地盤とする。したがって、基礎の変位に対してもボルツマンの重ね合せの原理が成立する。  
 2) 基礎の粘弹性変位は  $\theta = 0$  において与えられた一定死荷重による。  
 3) 活荷重は種時間に作用し、基礎の粘弹性変位には影響を与えない。  
 4) 作用する活荷重は  $\theta = \theta_0$  において比例的に増加し、構造物は崩壊する。すなわち崩壊にいたるまでの荷重の履歴は1回である。  
 つきに計算方法について列記すると、  
 i) まず死荷重による基礎変位の時間的変化を求める。この場合、仮定 1) によりラプラス像空間における基礎反力～基礎変位関係と弾性状態における両者の関係には、粘弹性・弾性の対応原理が成立するゆえ、対応原理を用いて基礎変位の経年変化を求める。  
 ii)  $\theta = \theta_0$  における基礎変位が求められたならば、基礎変位、死荷重とともに状態のまま漸増活荷重を加えて崩壊にいたるまでの構造物の変形計算を行なう。なお、計算には曲げモーメント・軸力・曲率 ( $M-P-\kappa$ ) の関係を用いた数値積分法によること解を追跡した。

### 3. 計算例

図-1は全部材とも長方形断面の同一部材、同一材料からなる内型ラーメンに、一定死荷重  $P = 0.3 P_y$  ( $P_y = A G_y$ ) が  $\theta = 0$  を載荷した状態を示す。もし、A, D 支点の地盤の性質が異なれば両支点の沈下に差が生ずる。いま、両支点の相対沈下がケルビンモデルであらわされるとし、簡単なため両支点とも時間が経過しても回転しないものとする。これらの仮定はいずれも実際の構造物を想定したことではなく、ラーメンを少しくじて計算結果の傾向を知るために設けたものである。図-3は計算結果の一例で、 $EI/k\ell^3 = 0.07$ ,  $\ell/r$  (細長比) = 20 のときの相対沈下△の時間的変化を示す。ここに  $k$  はケルビンモデルのバネ定数を示し、図中の  $t$  は遅延時間である。ある時間が経過すると図-2に示すように、支点の間に相対沈下△が生じ、節点B, C は水平にだけ変位してラーメンは変形する。つきに漸増水平荷重  $\delta P$  を図示のように加えると、δPは増大し塑性域が発達してラーメンは崩壊する。図-4は  $\theta$  と  $\delta P$  との関係を  $\theta/\theta_0 = 0$ ,  $\delta P/P = 1$  の場合について示したもの

である。図-4には弾性安定線と塑性前壊線を併記した。これらの曲線を求めたにあたり、この参考方を記すと、

1) 弹性安定線  $\delta_f$  を与える。軸力の影響を考慮して剛性マトリックスを作る。この場合、軸力と節点変位によつて生ずる剛性エーメントは考慮したが、軸縮みは無視したゆえ、基本的には座屈した角式に一致する。また、軸力を  $P$  とおいて解き、節点変位と剛性エーメントより軸力を求め、得られた軸力を用いてさらに計算を続行し、軸力が変化しなくなるまで計算を行なうで解を求める。

2) 塑性崩壊線 塑性ヒンジは柱脚と柱頭に生ずる。つり合の条件と、曲げと軸力をうけるときの降伏条件式を用いて解くと、部材が長方形断面の場合

$$q_f = \frac{1}{2} p^2 \left[ \frac{P}{\sqrt{3}} \alpha + \sqrt{\left( \frac{P}{\sqrt{3}} \alpha \right)^2 + 4 p^2 (1-p) \alpha} \right] - \frac{\delta}{l}$$

を得る。ここで、

$$\alpha = \left( 1 + 2 \sqrt{3} \frac{P}{l} p \frac{\Delta}{l} + \frac{\Delta}{l} \frac{\delta}{l} \right)^2, \quad p = P/P_y$$

である。なお、 $\alpha = 1$  になると、塑性崩壊線は直線となる。

3) M-P-中関係を用いて解く  $\delta/l$  を与え、A 点の反力  $V_A/P_y, H_A/P_y, M_A/M_y$  と  $\theta$  を仮定する。このとき仮定する  $\theta$  は塑性崩壊線より得られるよりも大きであることは明らかであり、これらの値をもとに、つり合の式から  $V_D/P_y, H_D/P_y, M_D/M_y$  を求めめる。つり合の M-P-中関係を用いて A から B, B から C および D から C に向って変形計算を行なう。得られた結果が満足しなければ以下の条件は i) AB 部材の B 点の水平変位は  $\delta$  に等しい。 ii) BC 部材の C 点の鉛直変位は  $\Delta$  に等しい。 iii) DC 部材の C 点の水平変位は  $\delta$  に等しい。 iv) BC 部材の  $\theta_c$  と DC 部材の  $\theta_c$  は等しい。これら 4 つの条件を満足するように仮定値を逐次補正すればよい。計算には多変数に拡張した Newton 法を用いた。このようにして得られた計算結果の一例を図-4 に示した。

#### 4. 結び

この計算例の場合、 $t/l = 0$  のときの  $\delta_{max}$  に対して  $t/l = 1.0$  のときの  $\delta_{max}$  (約 5% 低下) である。この例の場合には、一定鉛直荷重に漸増水平荷重を作用させたが、同時に漸増鉛直荷重が作用するときには軸力による影響が増大するゆえ、荷重低下における水平の影響が顕著にあらわれるのである。

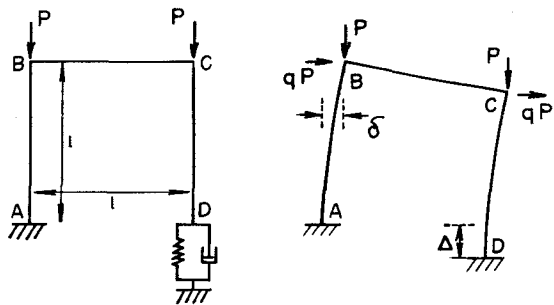


図-1

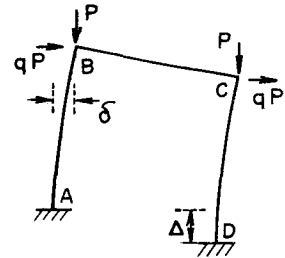


図-2

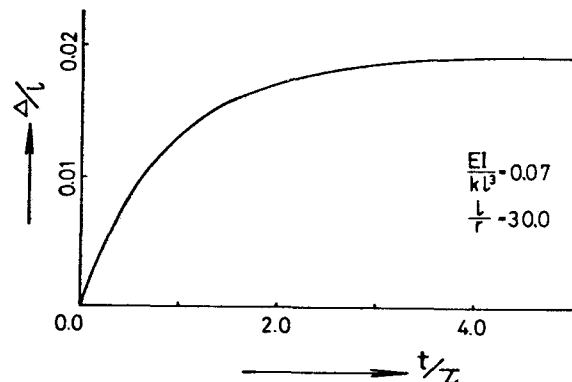


図-3

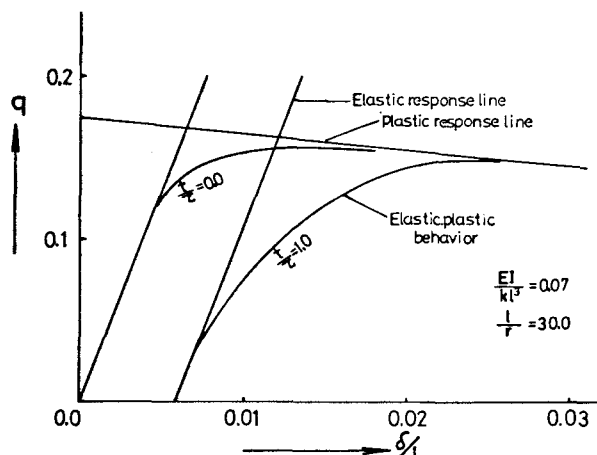


図-4